

УДК 535.21+542.952 : 539.19

**ИССЛЕДОВАНИЯ ПРОЦЕССА  
ОБРАТИМОЙ ФОТОИЗОМЕРИЗАЦИИ  
В РАСТВОРАХ ПОЛИМЕТИНОВЫХ КРАСИТЕЛЕЙ  
ПРИ ЛАЗЕРНОМ ВОЗБУЖДЕНИИ**

Е. Н. Калитеевская и Т. К. Разумова

Экспериментально исследованы процессы фотоизомеризации этанольных растворов ди- и трикарбоцианинов при возбуждении моноимпульсным лазерным излучением различной мощности и спектрального состава. Измерены спектры поглощения и флуоресценции фотоизомеров и времена жизни возбужденных состояний этих молекул. На основании сопоставления экспериментальных данных и результатов расчета модели переходов в системе термов исходных молекул и молекул фотоизомеров оценены виды фотоизомеризации.

1. В ряде работ показано, что возбуждение растворов полиметиновых красителей излучением импульсных ламп [1–6] или лазеров [7–15] приводит к созданию сравнительно долгоживущих ( $10^{-4}$ – $10^{-3}$  с) метастабильных состояний. В случае ди- и трикарбоцианинов спектр поглощения метастабильных молекул сдвинут на несколько десятков нанометров в длинноволновую сторону относительно исходного спектра поглощения основных молекул красителя (ОМ), а сечения переходов в этих полосах близки по величине к  $\sigma_{\text{OM}}$ . В большинстве перечисленных работ это явление связывается с процессом фотоизомеризации молекул красителя при однофотонном возбуждении. Этот вывод сделан на основании результатов спектральных и кинетических исследований обратимого наведенного поглощения и подтверждается результатами исследования свечения, возникающего при переходах между термами метастабильных молекул. Такое свечение с временем затухания  $\sim 0.4$  нс было обнаружено в растворе 3,3'-диэтилоксадикарбонатниодида [9, 11, 12, 15]. Изучение спектров наведенного поглощения полиметинов показало, что мощное возбуждение молекул фотоизомера (ФИ) приводит к уменьшению количества ФИ и образованию метастабильных молекул другого типа (ММ), время жизни которых также  $\sim 10^{-4}$  с, но может отличаться по величине от  $\tau_{\text{фи}}$ . Спектр поглощения ММ расположен в более коротковолновой области по сравнению со спектром ОМ, а сечения переходов близки к сечениям  $\sigma_{\text{OM}}$  и  $\sigma_{\text{фи}}$ . Релаксация ФИ и ММ генерирует ОМ. Природа этих молекул не была выяснена [10]. В работе [7, 16] показано, что возникновение метастабильных молекул ФИ ухудшает генерационные характеристики полиметинов, причем степень влияния заметным образом зависит от параметров возбуждающего излучения.

2. Целью нашей работы были исследования процесса фотоизомеризации полиметинов в этанольных растворах при условии мощного возбуждения моноимпульсными лазерами, когда начинают играть существенную роль процессы насыщения переходов и светового тушения, а также изучение абсорбционных, люминесцентных и кинетических характеристик метастабильных молекул.

Объектами исследования служили два дикарбоцианина и один трикарбоцианин, названия которых приведены в табл. 1.

Таблица 1

№	Наименование красителя
I	1,3,3',1',3',3'-гексаметилиндатрикарбоцианиодид
II	3,3'-диэтилтиадикарбоцианиодид
III	3,3'-диэтилселенадикарбоцианиодид

Используемая в работе установка (рис. 1) давала возможность измерять спектры обратимого наведенного поглощения и флуоресценции, определять сечения переходов и населенности энергетических состояний, а также исследовать кинетику метастабильных состояний. На этой же установке изучались зависимости населенностей состояний от условий возбуждения (варьировались длины волн и мощности возбуждающего излучения). В качестве источников возбуждающего излучения использовались моноимпульсные лазеры на рубине (первая и вторая гармоники, длительность импульса излучения  $T_{1/2}=20$  нс) и на растворах красителей ( $T_{1/2}=17$  нс). Специальные оптическая и электронная схемы синхронизации и задержки

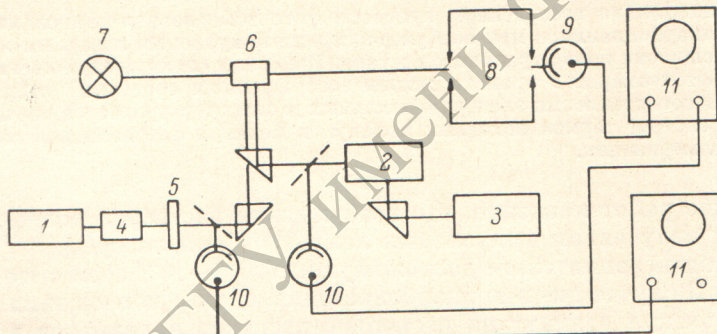


Рис. 1. Схема установки.

1 — моноимпульсный рубиновый лазер, 2 — лазер на растворах красителей, 3 — моноимпульсный рубиновый лазер, 4 — кристалл KDP, 5 — светофильтр для разделения излучений основной частоты и второй гармоники, 6 — обратимый светофильтр, 7 — зондирующая лампа ДКСН-200, 8 — двойной монохроматор фирмы Jobin-Yvon, 9 — фотоумножитель (ФЭУ-28 или ФЭУ-38), 10 — фотоэлемент, 11 — запоминающий осциллограф С8-11.

позволяли воздействовать на образцы одиночными импульсами излучения двух лазеров с регулируемым интервалом между импульсами, а также управлять импульсным источником зондирующего излучения. Оценка интенсивности возбуждающего излучения производилась фотоэлементами с интегрирующими RC-цепями, градуировка фотоприемников осуществлялась с помощью калориметра ИКТ-1М. Длительность импульсов излучения измерялась фотоэлементами ФК-3 и осциллографом БЛОР-04.

3. На рис. 2 представлены спектры поглощения ОМ и спектры обратимого изменения показателя поглощения ( $\Delta k$ ) красителей I и II при различных условиях возбуждения. Как видно из этих графиков, возбуждение в стоксовой области приводит к возникновению дополнительного длинноволнового поглощения, связанного с образованием ФИ (рис. 2, а), а возбуждение в антистоксовой области создает как ФИ, так и ММ (рис. 2, б, кривая 2), что находится в соответствии с упомянутыми выше результатами. Как было показано в [7, 10], определение спектра поглощения ФИ в первом случае не представляет особых трудностей, так как количество образованных молекул ФИ равно убыли количества ОМ. Спектр поглощения ФИ красителя I изображен на рис. 3, а. Существенно сложнее случай антистоксова возбуждения, когда образуются метастабильные молекулы двух типов. Для определения спектров их поглощения в этом случае удобно использовать результаты измерений спектров  $\Delta k$  при возбуждении

в различных спектральных областях, когда меняются относительные количества ОМ, ФИ и ММ (рис. 2, б).

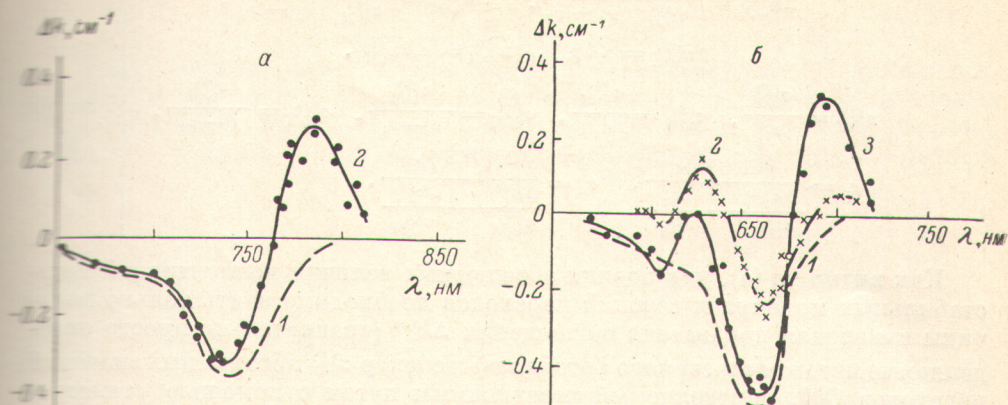


Рис. 2. Спектр поглощения ОМ (1) и обратимого изменения показателя поглощения (2, 3) красителей I (а) и II (б) (2 —  $\lambda_{\gamma}=694$  нм, 3 —  $\lambda_{\gamma}=347$  нм.).

Величина изменения показателя поглощения ( $\Delta k_{\gamma}^{(i)}$ ) в момент измерения  $t \gg T$  для зондирующего излучения с длиной волны  $\lambda_i$ , при возбуждении изложением с  $\lambda_{\gamma}$  может быть представлена следующим образом:

$$\Delta k_{\gamma}^{(i)} = \sigma_{\text{ФИ}}^{(i)} n_{\text{ФИ}}^{(\gamma)} + \sigma_{\text{ММ}}^{(i)} n_{\text{ММ}}^{(\gamma)} - \sigma_{\text{ОМ}}^{(i)} \Delta n_{\text{ОМ}}, \quad (1)$$

$$\Delta n_{\text{ОМ}}^{(\gamma)} = n_{\text{ФИ}}^{(\gamma)} + n_{\text{ММ}}^{(\gamma)}, \quad (2)$$

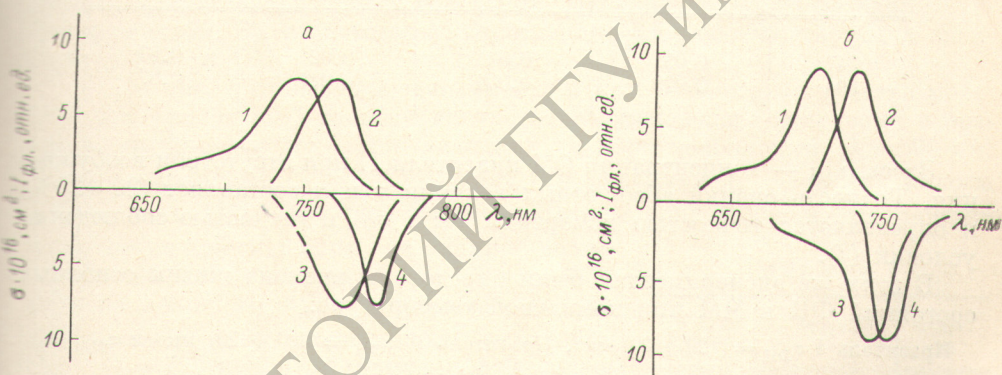


Рис. 3. Спектры поглощения ОМ (1) и ФИ (3) и флуоресценции ОМ (2) и ФИ (4) красителей I (а) и II (б).

где  $\sigma_{\text{ОМ}}^{(i)}$ ,  $\sigma_{\text{ФИ}}^{(i)}$  и  $\sigma_{\text{ММ}}^{(i)}$  — сечения переходов соответствующих молекул на длине волны  $\lambda_i$ ;  $\Delta n_{\text{ОМ}}^{(\gamma)}$ ,  $n_{\text{ФИ}}^{(\gamma)}$  и  $n_{\text{ММ}}^{(\gamma)}$  — обратимые изменения концентрации ОМ и концентраций ФИ и ММ при возбуждении с  $\lambda_{\gamma}$ . Как показывает анализ формы спектров красителей и  $\Delta k_{\gamma}^{(i)}$ , при определенном выборе  $\lambda_i$  в пределах спектра  $\Delta k_{\gamma}^{(i)}$ , таком, что справедливы соотношения

$$\sigma_{\text{ММ}}^{(1)} \ll \sigma_{\text{ФИ}}^{(1)}; \sigma_{\text{ММ}}^{(2)} \ll \sigma_{\text{ФИ}}^{(2)}; \sigma_{\text{ФИ}}^{(3)} \ll \sigma_{\text{ММ}}^{(3)}; \sigma_{\text{ФИ}}^{(4)} \ll \sigma_{\text{ММ}}^{(4)}, \quad (3)$$

для определения величин  $\sigma^{(i)}$  и концентраций соответствующих молекул достаточна система из восьми уравнений типа (1) для двух  $\lambda_{\gamma}$  и четырех  $\lambda_i$ . Решение такой системы с учетом соотношений (3) в точках, где

$$\Delta k_1^{(1)} = 0, \Delta k_2^{(2)} = 0, \Delta k_1^{(3)} = 0, \Delta k_2^{(4)} = 0,$$

дает следующие выражения:

$$\left. \begin{aligned} \Delta n_{\text{OM}}^{(1)} &= \frac{\Delta k_1^{(2)}}{\sigma_{\text{OM}}^{(2)}} \frac{\alpha_2}{\alpha_1 - \alpha_2}, & \Delta n_{\text{OM}}^{(2)} &= \frac{\Delta k_2^{(1)}}{\sigma_{\text{OM}}^{(1)}} \frac{\alpha_1}{\alpha_2 - \alpha_1}, \\ n_{\text{ФИ}}^{(1)} &= \alpha_1 \Delta n_{\text{OM}}^{(1)}, & n_{\text{ФИ}}^{(2)} &= \alpha_2 \Delta n_{\text{OM}}^{(2)}, \\ \sigma_{\text{ФИ}}^{(1)} &= \frac{\sigma_{\text{OM}}^{(1)}}{\alpha_1}, & \sigma_{\text{ФИ}}^{(2)} &= \frac{\sigma_{\text{OM}}^{(2)}}{\alpha_2}, & \sigma_{\text{MM}}^{(3)} &= \frac{\sigma_{\text{OM}}^{(3)}}{1 - \alpha_1}, & \sigma_{\text{MM}}^{(4)} &= \frac{\sigma_{\text{OM}}^{(4)}}{1 - \alpha_2}, \\ \alpha_1 &= \frac{\Delta k_2^{(3)}/\sigma_{\text{OM}}^{(3)}}{\Delta k_2^{(3)} - \Delta k_2^{(1)}}, & \alpha_2 &= \frac{\Delta k_1^{(4)}/\sigma_{\text{OM}}^{(4)}}{\Delta k_1^{(4)} - \Delta k_1^{(2)}}. \end{aligned} \right\} \quad (4)$$

Как видно из (4), для оценки абсолютных величин концентраций метастабильных молекул и сечений переходов необходимо знать только величины изменения показателя поглощения  $\Delta k_i^{(i)}$  (сравнительно просто определяемые методом «лазерного фотолиза») и спектр  $\sigma_{\text{OM}}^{(i)}$  абсолютных значений переходов ОМ, определяемый независимым путем с помощью стандартных приборов.

На рис. 2, б представлены полученные экспериментально спектры абсолютных значений  $\Delta k_i^{(i)}$  красителя II при возбуждении излучением с  $\lambda_1 = 347$  нм и  $\lambda_2 = 694$  нм. Видно, что изменение длины волны возбуждения приводит к заметному изменению абсолютных и относительных количеств ФИ и ММ; а также и  $\Delta n_{\text{OM}}$ . Результаты расчета по формулам (4) и (1) приведены на рис. 3, б и в табл. 2.

Таблица 2

$\lambda_{\gamma}$ , нм	$\Delta n_{\text{OM}} \cdot 10^{16}$ , $\text{см}^{-3}$	$n_{\text{ФИ}} \cdot 10^{16}$ , $\text{см}^{-3}$	$n_{\text{MM}} \cdot 10^{16}$ , $\text{см}^{-3}$	$n_{\text{OM}} \cdot 10^{16}$ , $\text{см}^{-3}$
347	0.05	0.03	0.02	0.87
694	0.025	0.004	0.021	0.87

Здесь  $n_{\text{OM}}$  — концентрация ОМ красителя II при отсутствии возбуждения. Точность оценки абсолютных величин  $\sigma$  и  $n$  составляет (20—25%) и определяется точностью измерения  $\Delta k$  и  $\sigma_{\text{OM}}$  и точностью соблюдения условий (3).

В этих же экспериментах были определены времена жизни основных состояний ФИ и ММ при комнатной температуре:

Краситель I  $\tau_{\text{ФИ}} = (120 \pm 20)$  мкс, Краситель II  $\tau_{\text{ФИ}} = (360 \pm 20)$  мкс и  $\tau_{\text{ММ}} = (300 \pm 50)$  мкс.

4. Измерения спектров флуоресценции ФИ осуществлялись с помощью двух источников возбуждения — один из которых (с интенсивностью  $J_1$  и длиной волны  $\lambda_1$ ) создавал ФИ, а второй (интенсивность  $J_2$  и длина волны  $\lambda_2$ ) через интервал времени  $\Delta t$  ( $T \ll \Delta t \ll \tau_{\text{ФИ}}$ ) возбуждал флуоресценцию фотоизомера. В случае красителя I в качестве первого источника использовался рубиновый лазер (первая гармоника), а второго — лазер на красителе ( $\lambda_2 = 795$  нм,  $\Delta\lambda = 5$  нм). В случае красителя II — вторая и первая гармоники рубинового лазера соответственно. При измерении спектров флуоресценции контролировалось постоянство величин  $J_1$ ,  $J_2$  и  $\Delta t$  и учитывалась величина сигнала, связанного с рассеянным излучением источника  $\lambda_2$  и флуоресценцией ОМ, вызываемой возбуждением с  $\lambda_2$ . Полученные таким образом спектры флуоресценции ФИ представлены на рис. 3. Здесь же приведены спектры флуоресценции ОМ, измеренные на той же установке при лазерном возбуждении. На рис. 4 представлена зависимость интенсивности флуоресценции ФИ красителя I от интенсивности излучения  $J_2$  при постоянной населенности основного состояния ФИ. Аналогичная зависимость получена и для красителя II. Если предполо-

жить, что насыщающийся характер этих зависимостей связан с насыщением переходов в системе термов ФИ, этот результат может быть использован для определения времени жизни возбужденного состояния ФИ (ФИ\*). Проведенные расчеты дали следующие величины (табл. 3).

Рассчитанные значения  $\tau_{\text{ФИ}^*}$  близки к результату для 3,3'-диэтилоксикарбоцианиодида [12], полученному при исследованиях затухания флуоресценции ФИ, возбуждаемой пикосекундными импульсами. Отметим, что времена жизни возбужденных состояний ФИ заметно меньше

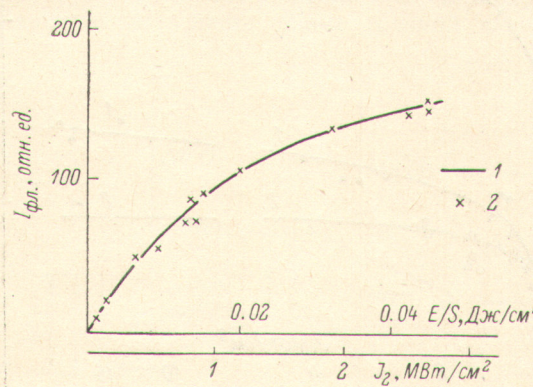


Рис. 4. Зависимость интенсивности флуоресценции ФИ красителя I от интенсивности возбуждающего излучения  $J_2$ .

1 — расчетная зависимость, 2 — результат эксперимента.

времен жизни возбужденных состояний ОМ; измеренных на фазовом флуориметре (табл. 3), а спектры флуоресценции уже соответствующих спектров раствора ОМ.

5. На рис. 5 приведены зависимости относительного количества молекул ФИ красителя I от интенсивности возбуждающего излучения с различными длинами волн, попадающими на коротковолновый ( $\lambda_\gamma = 694$  нм) и длинноволновый ( $\lambda_\gamma = 778$  нм) край и в максимум ( $\lambda_\gamma = 742$  нм) полосы поглощения ОМ. Эти результаты получены при условии постоянства показателя поглощения на длине волны возбуждающей радиации ( $k = 4.8 \text{ см}^{-1}$ ). Оценка величины  $n_{\text{ФИ}}^{(\gamma)}$  проводилась по измеряемым в этом эксперименте величинам  $\Delta k_i^{(\gamma)}$  ( $\lambda_i = 795$  нм) и по величине  $\sigma_{\text{ФИ}}$ , определенной по спектру поглощения ФИ (рис. 3, a). Из приведенных графиков видно, что зависимость  $n_{\text{ФИ}}^{(\gamma)}/n_{\text{ОМ}} = f(J_\gamma)$  имеет насыщающийся характер, причем уровень насыщения резко меняется при изменении длины волны возбуждающего излучения. На рис. 5 приведены также графики  $\Delta n_{\text{ОМ}}/n_{\text{ОМ}} = f(J_\gamma)$  и  $n_{\text{ФИ}}/n_{\text{ОМ}} = f(J_\gamma)$  для красителя II при возбуждении с  $\lambda_\gamma = 694$  нм (антистоксово возбуждение). Видно, что обе кривые также имеют насыщающийся характер, причем  $n_{\text{ФИ}}$  много меньше  $\Delta n_{\text{ОМ}}$ . Аналогичный результат получен для красителя III.

Для выяснения процессов, определяющих наблюдаемые экспериментально зависимости, рассмотрим схему термов ОМ, ФИ и ММ и учтем следующие из условий возбуждения и экспериментальных данных, приведенных выше, излучательные и безызлучательные переходы. Изображенная на рис. 6 схема термов не дает сведений об энергетических интервалах между термами разных молекул. Основываясь на результатах [17] и данных настоящей работы, можно лишь предположить, что уровень (2) расположен не выше уровня (3), а уровень (5) — не выше уровня (4).

Таблица 3

№ красителя	$\tau_{\text{ФИ}^*}$ , нс	$\tau_{\text{ОМ}^*}$ , нс
I	$0.2 \pm 0.1$	1.2
II	$0.3 \pm 0.1$	2.0

В общем случае возбуждения переходов ( $S_0 \rightarrow S_1^*$ ) ОМ [или (1)  $\rightarrow$  (3)] на схеме рис. 6] излучением с  $\lambda_\gamma > \lambda_{\text{MM}}^{\max}$  населенности состояний (1) и (2) определяются следующими процессами:

- 1) насыщением переходов (1)  $\xrightarrow{\lambda_\gamma} (3)$ ;

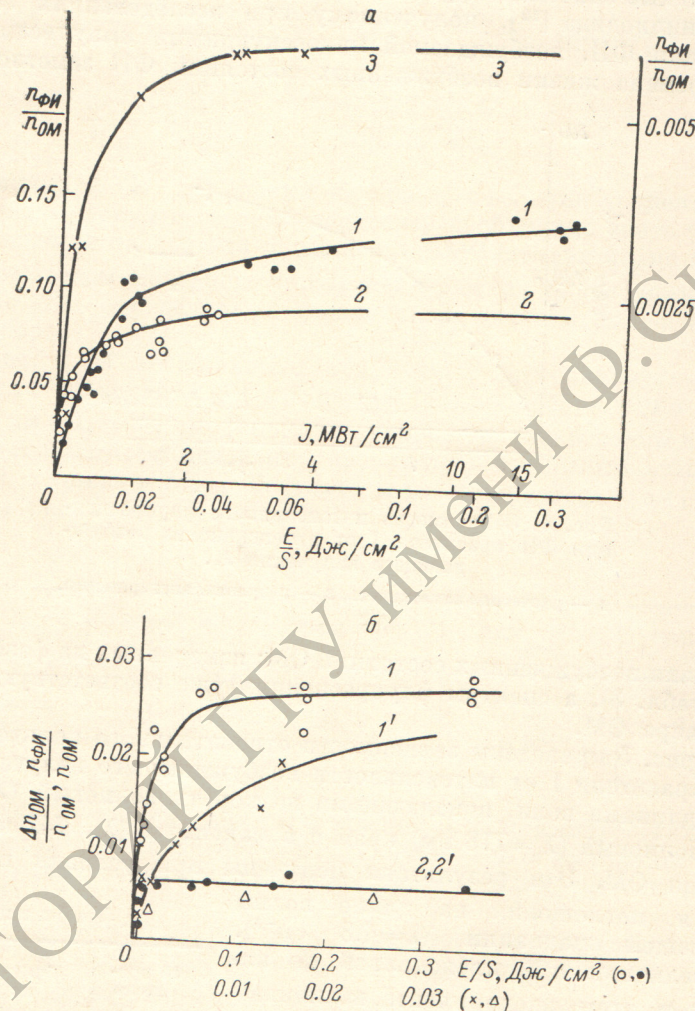


Рис. 5. Зависимость относительного количества молекул ФИ ( $n_{\text{ФИ}}/n_{\text{ОМ}}$ ) и изменения количества молекул ОМ ( $\Delta n_{\text{ОМ}}/n_{\text{ОМ}}$ ) от интенсивности возбуждающего излучения.

а — краситель I: 1 —  $\lambda_\gamma = 694$  нм, 2 —  $\lambda_\gamma = 742$  нм (по левой оси ординат), 3 —  $\lambda_\gamma = 778$  нм (по правой оси ординат); б — краситель II:  $\lambda_\gamma = 694$  нм, 1 и 1'' —  $\Delta n_{\text{ОМ}}/n_{\text{ОМ}}$ , 2 и 2'' —  $n_{\text{ФИ}}/n_{\text{ОМ}}$ . Сплошные кривые — расчет, точки — результат эксперимента.

- 2) тушением «вниз» (3)  $\xrightarrow{\lambda_\gamma} (1)$  (вынужденные переходы с испусканием под действием возбуждающего излучения);
- 3) безызлучательными переходами (3)  $\rightsquigarrow$  (2);
- 4) переходами с поглощением (2)  $\xrightarrow{\lambda_\gamma} (4)$  и насыщением этих переходов;
- 5) тушением «вниз» (4)  $\xrightarrow{\lambda_\gamma} (2)$ ;
- 6) безызлучательными переходами (4)  $\rightsquigarrow$  (5);
- 7) релаксацией (2)  $\rightsquigarrow$  (1) и (5)  $\rightsquigarrow$  (1).

В реальных условиях возбуждения ( $\tau_3, \tau_4 \ll T \ll \tau_2, \tau_5$ ) последний процесс не влияет на величину  $n_2 = n_{\text{ФИ}}$  и  $\Delta n_1 = \Delta n_{\text{ОМ}}$ , а должен учиты-

ваться лишь при определении этих величин в условиях эксперимента (измерения  $\Delta k^{(i)}$  проводятся в момент времени [10]).

$$\Delta t = (0.1 \div 0.3) \tau_5, \quad \tau_5 \ll \tau_2$$

Описание переходов в этой системе термов с помощью уравнений баланса в предположении малой роли вынужденных излучательных переходов в молекулах ОМ и ФИ под действием собственного поля излучения молекул приводит к системе уравнений, решение которой в случае одиночных импульсов возбуждающего излучения прямоугольной формы имеет сле-

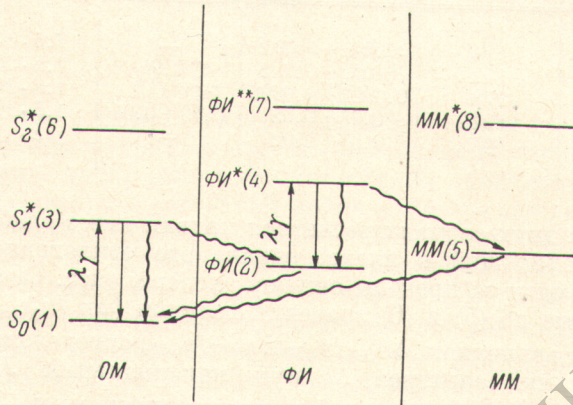


Рис. 6. Схема термов молекул ОМ, ФИ и ММ.

дующий вид<sup>1</sup> в момент  $\Delta t (\tau_3, \tau_4 \ll \Delta t \ll \tau_2, \tau_5)$  после окончания импульса возбуждения:

$$\frac{\Delta n_1}{n_0} = p_1 T, \quad (5)$$

$$\frac{n_2}{n_0} = \frac{p_1}{p_2 - p_1} (e^{-p_1 T} - e^{-p_2 T}), \quad (6)$$

$$p_1 = \frac{\sigma_\gamma^{(13)} \eta^{(32)} J_\gamma}{1 + (\sigma_\gamma^{(13)} + \alpha_\gamma) \tau_3 J_\gamma}, \quad p_2 = \frac{\sigma_\gamma^{(24)} \eta^{(45)} J_\gamma}{1 + (\sigma_\gamma^{(24)} + \beta_\gamma) \tau_4 J_\gamma},$$

$$n_5 + n_2 = \Delta n_1, \quad n_0 = n_1 + \Delta n_1. \quad (7)$$

Здесь  $\sigma_\gamma^{(13)}$  и  $\sigma_\gamma^{(24)}$  — сечения соответствующих переходов с поглощением на длине волны возбуждения  $\lambda_\gamma$ ;  $\alpha_\gamma$  и  $\beta_\gamma$  — сечения вынужденных переходов с излучением  $(3) \xrightarrow{\lambda_\gamma} (1)$  и  $(4) \xrightarrow{\lambda_\gamma} (2)$ ;  $\tau_3$  и  $\tau_4$  — времена жизни уровней  $(3)$  и  $(4)$ ;  $\eta^{(32)}$  и  $\eta^{(45)}$  — квантовые выходы соответствующих безызлучательных переходов;  $T$  — длительность возбуждающего импульса.

Из (5) следует, что зависимость  $\Delta n_1 = f(J_\gamma)$  имеет насыщающийся характер, а предельно достижимая величина  $(\Delta n_1/n_0)_{\text{пред.}}$  определяется выходом безызлучательных переходов  $\eta^{(32)}$ , длительностью накачки и положением длины волны возбуждения в пределах контуров поглощения и флуоресценции ОМ. Исследование (6) показывает, что график  $n_2 = f(J_\gamma)$  может иметь различный вид в зависимости от отношений параметров, входящих в  $p_1$  и  $p_2$ . В общем виде эта зависимость имеет максимум, определяемый процессом переходов  $(4) \xrightarrow{\lambda_\gamma} (5)$ , однако в случае насыщения переходов в канале  $(2) \xrightarrow{\lambda_\gamma} (4)$  можно получить либо слабовыраженный максимум, переходящий в плато, либо насыщающуюся кривую. Расчеты зависимостей (5) и (6) проведены для всех исследованных красителей с учетом известных из независимых экспериментов величин  $\sigma_\gamma^{(13)}$ ,  $\alpha_\gamma$ ,  $\tau_3$ ,  $T$  и  $J_\gamma$  и определенных из изложенных выше экспериментов  $\sigma_\gamma^{(24)}$ ,  $\beta_\gamma$  и  $\tau_4$ . Результаты расчета

<sup>1</sup> Тип этой системы близок к рассмотренному в [18].

показывают, что наблюдается удовлетворительное (в пределах точности наших измерений) совпадение расчетных и экспериментальных данных (рис. 5) при значениях параметров  $\eta$ , приведенных в табл. 4. Здесь же даны вероятности соответствующих переходов  $P_{32}$  и  $P_{45}$ .

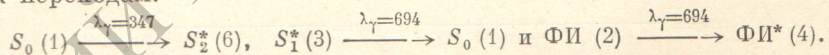
Таблица 4

№ красителя	$\tau_3$ , нс	Длина волны возбуждения $\lambda_\gamma$ , нм	$\eta^{(32)}$	$\eta^{(45)}$	$P_{32}$ , с <sup>-1</sup>	$P_{45}$ , с <sup>-1</sup>
I	1.2	694	$0.009 \pm 0.002$	—	$7.5 \cdot 10^6$	—
I	1.2	742	$0.009 \pm 0.002$	$\leq 0.01$	$7.5 \cdot 10^6$	$\leq 3 \cdot 10^7$
I	1.2	778	$0.0022 \pm 0.0006$	$\leq 0.002$	$1.8 \cdot 10^6$	$\leq 7 \cdot 10^6$
II	2.0	694	$0.03 \pm 0.02$	$0.13 \pm 0.04$	$1.5 \cdot 10^7$	$3 \cdot 10^8$
III	1.7	694	$0.03 \pm 0.02$	—	$2 \cdot 10^7$	—

В последних двух случаях расчетная кривая имеет слабо выраженный максимум, переходящий в плато, однако это отклонение от плоского графика не выходит за пределы ошибок эксперимента. Следует отметить, что рассчитанные по (5) и (6) значения величин  $(\Delta n_1/n_0)_{\text{пред.}}$  и  $(n_2/n_0)_{\text{пред.}}$  очень близки к величинам  $\Delta n_0$  и  $n_{\text{ФИ}}/n_0$ , определенным в результате исследований спектров  $\Delta k$  при максимальных  $J_\gamma$  ( $\lambda_\gamma=694$  нм) в экспериментах с красителем II, изложенных в п. 3 этой статьи.

Расчет случая возбуждения красителя II излучением с  $\lambda_\gamma=347$  нм, попадающим во вторую полосу поглощения ОМ, показал, что наилучшее совпадение экспериментальных и расчетных результатов получается при следующих значениях квантовых выходов переходов из (6) в (2) и из (7) в (5):  $\eta^{(62)}=0.03$  и  $\eta^{(75)}=0.13$  (здесь под  $\eta^{(62)}$  и  $\eta^{(75)}$  подразумевается общий квантовый выход всех каналов соответствующих переходов).

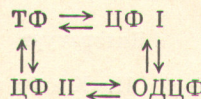
Для выяснения преимущественного пути фотоизомеризации при переходах во второе возбужденное состояние были проведены эксперименты по одновременному возбуждению красителя II излучениями, приводящими к переходам:



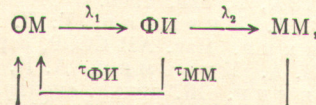
Если изомеризация происходит в состоянии  $S_2^*(6)$ , то подсветка с  $\lambda_\gamma=694$  нм приведет только к переходам (2)  $\rightarrow$  (4) и мало изменит величину  $\Delta n_1$  по сравнению с возбуждением только с  $\lambda_\gamma=347$  нм. Если же изомеризация идет в состоянии  $S_1^*(3)$ , то подсветка тушащим это состояние излучением резко уменьшит  $\Delta n_1$ . Эксперименты с зондирующими излучениями, длины волн которых расположены в различных областях спектра  $\Delta k^{(i)}$  ( $\lambda_i=595, 628, 672$  и  $696$  нм), показали, что преимущественно изомеризация происходит в состоянии  $S_1^*$ .

6. Приведенные выше данные подтверждают выводы о том, что в растворах полиметиновых красителей с длинными цепями фотовозбуждение приводит к образованию метастабильных молекул двух типов. Относительное количество этих молекул зависит от спектра и мощности возбуждающего излучения. Сделанный в предыдущих работах вывод о стереоизомерной природе более «длинноволновых» молекул (ФИ), очевидно, справедлив. Сложнее вопрос о природе ММ. Как было показано в [19], хроматографический анализ раствора тиатрикарбоцианина обнаружил существование трех форм, переходящих в растворе друг в друга. Возможно, ММ является одной из этих форм и представляет собой плоский стереоизомер (в пользу этого говорят близость значений  $\sigma_{\text{OM}}$ ,  $\sigma_{\text{ФИ}}$  и  $\sigma_{\text{ММ}}$  и спектров поглощения). В этом случае ММ может быть одной из цис-форм. Рассмотрение структурных формул наиболее простой из исследованных молекул — тиатрикарбоцианина показывает, что эта молекула может существовать в виде двух моноцис-форм (ЦФ-I и ЦФ-II), образую-

щихся из транс-формы (ТФ), и трех дицис-форм, одна из которых — общая для обеих моноцис-форм (ОДЦФ), т. е. образуется как из ЦФ-І, так и из ЦФ-ІІ. Все перечисленные формы — плоские молекулы. Наиболее короткая цепочка превращений трех возможных форм друг в друга включает четыре члена



В то же время из работы [10] следует цепь превращений



состоящая из трех этапов. Такое противоречие может быть устранено, если предположить существование промежуточного быстропротекающего четвертого этапа, заключающегося в создании сравнительно короткоживущей ОДЦФ. Однако в настоящее время мы не располагаем экспериментальными данными, подтверждающими этот механизм.

Полученные нами значения выхода образования ФИ красителя I при  $\lambda_\gamma = 694$  нм на порядок меньше приведенных в [14]. Причины такого расхождения не понятны, отметим, однако, что определенная нами величина  $\eta^{(32)}$  дает весьма хорошее совпадение экспериментальных и расчетных результатов как в области насыщения зависимости  $n_2 = f(J_\gamma)$ , где величина  $n_2$  не зависит от мощности возбуждающего излучения ( $J_\gamma$ ), так и в области линейного и сублинейного роста этой функции. Эта величина равна также  $\eta^{(32)}$  при возбуждении в максимуме полосы поглощения ( $\lambda_\gamma = 742$  нм).

На основании полученных экспериментально данных и проведенных расчетов можно сделать ряд выводов и предположений.

1. Фотоизомеризация полиметиновых красителей, даже при переходах во второе возбужденное состояние, происходит преимущественно в сравнительно долгоживущем первом возбужденном синглетном состоянии.

2. Переходы ОМ во второе возбужденное синглетное состояние ( $\lambda_\gamma = 347$  нм) создают не только ФИ, но и некоторое количество ММ, что связано, очевидно, с переходами во второе возбужденное состояние ФИ под действием излучения с  $\lambda_\gamma = 347$  нм.

3. Квантовые выходы фотоизомеризации исследованных нами красителей малы, и при слабом возбуждении этот процесс почти не влияет на величину выхода флуоресценции ОМ.

4. При большой интенсивности и длительности возбуждения изомеризация может заметно уменьшить концентрацию ОМ.

5. Количество ФИ и величины квантовых выходов фотоизомеризации зависят от химического строения молекул ОМ. В красителе I величины  $\eta^{(32)}$  и  $\eta^{(45)}$  малы и процесс создания ФИ, даже при антистоксовом возбуждении, регулируется в основном процессами насыщения переходов и тушением «вниз» в системе термов ОМ. В красителях II и III выходы  $\eta^{(45)}$  на порядок больше, и количество ФИ в значительной степени определяется процессами насыщения и тушения не только в ОМ, но и в системе термов ФИ (при антистоксовом возбуждении).

6. При возбуждении в максимуме полосы поглощения ОМ относительное количество ФИ заметно меньше, чем при возбуждении на коротковолновом склоне вследствие тушения «вниз» и переходов (2)  $\lambda_\gamma$  (4);

7. Величины  $\eta^{(132)}$  для различных  $\lambda_\gamma$  (краситель I) в области стоксова возбуждения совпадают, при переходе в антистоксову область величина  $\eta^{(32)}$  заметно падает. Это явление, очевидно, объясняется теми же причинами, что и падение квантового выхода флуоресценции при антистоксовом возбуждении.

Авторы благодарны А. М. Бонч-Бруевичу за постоянное внимание к работе, Е. П. Щелкиной и А. В. Казымову, синтезировавших использованные в работе красители, и Т. В. Веселовой, измерившей времена жизни возбужденных состояний ОМ исследованных образцов.

#### Литература

- [1] F. Dörr, J. Kotschy, H. Kausen. Ber. Bunsenges. Phys. Chem., 69, 11, 1965.
- [2] P. J. McCartin. J. Chem. Phys., 42, 2980, 1965.
- [3] A. K. Чибисов. ТЭХ, 2, 825, 1966.
- [4] А. К. Чибисов, В. А. Кузьмин, Г. П. Ройтман, И. И. Левкоев, А. В. Калякин. Изв. АН СССР, сер. физ., 34, 1288, 1970.
- [5] Ю. И. Лифанов, В. А. Кузьмин, А. К. Чибисов, И. И. Левкоев, А. В. Калякин. Ж. прикл. спектр., 20, 221, 1974.
- [6] Ю. И. Лифанов, В. А. Кузьмин, А. К. Чибисов, И. И. Левкоев. Химия выс. энергий, 7, 321, 1973.
- [7] А. М. Бонч-Бруевич, Т. К. Разумова, Г. М. Рубанова. Опт. и спектр., 32, 362, 1972.
- [8] E. P. Irren, C. V. Shank, A. Dienes. Appl. Phys. Lett., 21, 348, 1972.
- [9] D. N. Dempster, T. Moggow, R. Rankin, G. F. Thompson. J. Chem. Soc. Farad. II, 68, 1479, 1972.
- [10] А. И. Бонч-Бруевич, Т. К. Разумова, Г. М. Рубанова. Опт. и спектр., 35, 832, 1973.
- [11] E. G. Arturs, D. J. Bradlay, A. G. Roddie. Chem. Phys. Lett., 8, 118, 1973.
- [12] E. G. Arturs, D. J. Bradlay, A. G. Roddie. Opt. Comm., 22, 230, 1973.
- [13] D. Maddalena, M. W. Windsor. Chem. Phys. Lett., 27, 31, 1974.
- [14] J. P. Foussier, D. J. Lougnon, J. Faure. Chem. Phys. Lett., 35, 189, 1975.
- [15] J. C. Mialoco, A. W. Boyd, J. Jaraudias, J. Sutton. Chem. Phys. Lett., 37, 236, 1976.
- [16] А. М. Бонч-Бруевич, Т. К. Разумова, Г. М. Рубанова, В. А. Ходовой, В. В. Хромов. Опт. и спектр., 30, 573, 1971.
- [17] Е. Н. Калитеевская, Т. К. Разумова. Опт. и спектр., 36, 1118, 1974.
- [18] Б. И. Степанов, В. П. Грибковский. Введение в теорию люминесценции, 398. Изд. АН БССР, Минск, 1963.
- [19] L. Zechmeister, J. H. Pinckard. Experientia, 9, 16, 1953.

Поступило в Редакцию 1 декабря 1976.